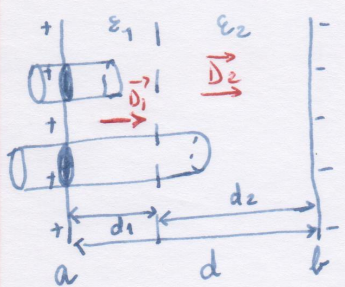


9º AULA PRÁTICA

- 87 Os dois dielétricos são LTI e não estão eletrizados em volume ( $\rho=0$ )  
 $\Rightarrow \rho'=0$  (não existem cargas elétricas de polarizações em volume)

CONDENSADOR A



Supõe-se a armadura de grande posição e

$$\sigma = \frac{q}{S} \text{ é a densidade uniforme existente}$$

Na armadura da direita existe uma densidade simétrica  $-\sigma < 0$ .

~ Aplicaremos o Teorema de Gauss

$$\oint (\vec{D} \cdot \vec{n}) ds = \sum q_{\text{int}}$$

Consideremos os dois cilindros e as suas cargas verdadeiras

$$D_1 ds = \sigma ds$$

$$D_2 ds = -\sigma ds$$

$$\Rightarrow D_1 = D_2 = \sigma$$

O vetor deslocamento elétrico tem a mesma intensidade nos dois meios

~ Por outro lado, o campo electrostático  $\vec{E}$  é diferente nos dois meios

$$E_1^c = \frac{D_1}{\epsilon_1} = \frac{\sigma}{\epsilon_1} \quad \text{e} \quad E_2^c = \frac{D_2}{\epsilon_2} = \frac{\sigma}{\epsilon_2}$$

~ A diferença de potencial entre as armaduras é

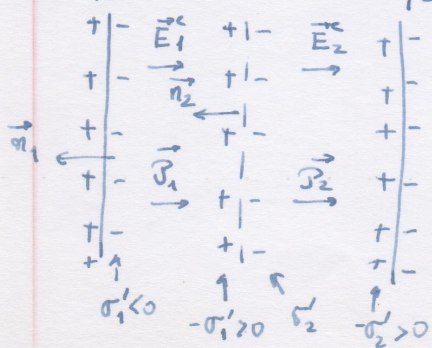
$$V_a - V_b = \int_a^b (\vec{E}^c \cdot d\vec{l}) = \int_0^{d_1} E_1^c dx + \int_{d_1}^{d_1+d_2} E_2^c dx$$

$$V_a - V_b = E_1^c d_1 + E_2^c d_2 = \frac{\sigma}{\epsilon_1} d_1 + \frac{\sigma}{\epsilon_2} d_2 = \frac{q}{\epsilon_1 S} d_1 + \frac{q}{\epsilon_2 S} d_2$$

~ Densidades de carga de polarizações

$$\sigma' = q/S$$

$$-q = -\sigma' S$$



$\sigma' = (\vec{P} \cdot \vec{n})$  com  $\vec{n}$  dirigido para  
frente do dielétrico;

$$\vec{P} = \epsilon_0 \chi_e \vec{E}^c$$

$$\epsilon = \epsilon_0 (1 + \chi_e)$$

$$\epsilon_0 \chi_e = \epsilon - \epsilon_0$$

$$\sigma'_1 = (\vec{P}_1 \cdot \vec{n}_1) = (\epsilon_1 - \epsilon_0)(\vec{E}_1^e \cdot \vec{n}_1) = -(\epsilon_1 - \epsilon_0) |\vec{E}_1^e|$$

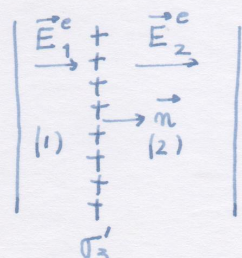
$$\sigma'_2 = (\vec{P}_2 \cdot \vec{n}_2) = (\epsilon_2 - \epsilon_0)(\vec{E}_2^e \cdot \vec{n}_2) = -(\epsilon_2 - \epsilon_0) |\vec{E}_2^e|$$

$\vec{n}_1 \perp \vec{P}_1$        $\vec{n}_2 \perp \vec{P}_2$

$$\sigma'_1 = -\frac{\epsilon_1 - \epsilon_0}{\epsilon_1} \sigma \quad \sigma'_2 = -\frac{\epsilon_2 - \epsilon_0}{\epsilon_2} \sigma$$

No superfície de separação dos dois dielectrinos existe a densidade de carga da polarização

$$\sigma'_3 = -\sigma'_1 + \sigma'_2 = \frac{\epsilon_1 - \epsilon_0}{\epsilon_1} \sigma - \frac{\epsilon_2 - \epsilon_0}{\epsilon_2} \sigma = \frac{\epsilon_1 - \epsilon_2}{\epsilon_1 \epsilon_2} \epsilon_0 \sigma$$



~ Nota — Podemos obter este resultado usando a regras de descontinuidade

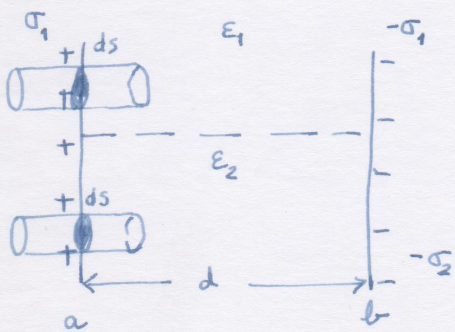
$$E_{2n}^e - E_{1n}^e = \frac{\sigma + \sigma'}{\epsilon_0}$$

na superfície de separação dos dois dielectrinos

$$E_2^e - E_1^e = \frac{\sigma'_3}{\epsilon_0}$$

$$\sigma'_3 = \epsilon_0 (E_{2n}^e - E_{1n}^e) = \epsilon_0 \left( \frac{\sigma}{\epsilon_2} - \frac{\sigma}{\epsilon_1} \right) = \epsilon_0 \sigma \left( \frac{\epsilon_2 - \epsilon_1}{\epsilon_1 \epsilon_2} \right)$$

### CONDENSADOR B



Repare que a ddp entre os armaduras é uma constante, pois cada uma delas é um condutor em equilíbrio eletrostático e, atendendo à law se verifica,

$$V_a - V_b = E^e d,$$

O campo eletrostático é o mesmo nas

duas muñ. Tem-se-a:

$$E^e = \frac{D_1}{\epsilon_1} \quad \text{e} \quad E^e = \frac{D_2}{\epsilon_2}$$

$$\Rightarrow \frac{\sigma_1}{\epsilon_1} = \frac{\sigma_2}{\epsilon_2} \quad \Rightarrow \sigma_2 = \frac{\epsilon_2}{\epsilon_1} \sigma_1$$

A carga total na armadura de espuma é

$$q = \sigma_1 s_1 + \sigma_2 s_2 = \sigma_1 s_1 + \left(\frac{\epsilon_2}{\epsilon_1} \sigma_1\right) s_2 = \sigma_1 \left(s_1 + \frac{\epsilon_2}{\epsilon_1} s_2\right)$$

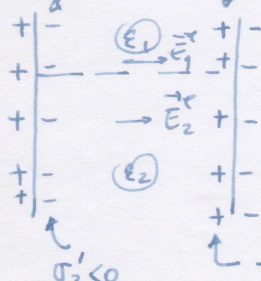
onde se obtém

$$\sigma_1 = \frac{\epsilon_1 q}{\epsilon_1 s_1 + \epsilon_2 s_2} \Rightarrow q_1 = \sigma_1 s_1 = \frac{\epsilon_1 s_1}{\epsilon_1 s_1 + \epsilon_2 s_2} q$$

$$q_2 = \sigma_2 s_2 = \frac{\epsilon_2 s_2}{\epsilon_1 s_1 + \epsilon_2 s_2} q$$

Verificando-se  $q_1 + q_2 = q$ .

$\sigma'_1 > 0$  e  $\sigma'_2 < 0$

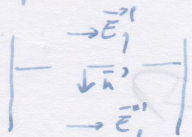


As densidades de carga da poluição são

$$\sigma'_1 = (\vec{P}_1 \cdot \vec{n}_1) = (\epsilon_1 - \epsilon_0)(\vec{E}' \cdot \vec{n}_1) \\ = -(\epsilon_1 - \epsilon_0) E^e = -\frac{\epsilon_1 - \epsilon_0}{\epsilon_1} \sigma_1$$

$$\sigma'_2 = -\frac{\epsilon_2 - \epsilon_0}{\epsilon_2} \sigma_2$$

No interior das separações das duas dieletctricas tem-se  $\sigma'_3 = 0$  pois o campo  $\vec{E}^e$  não tem componentes normais.

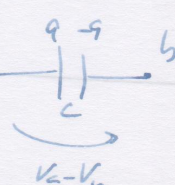
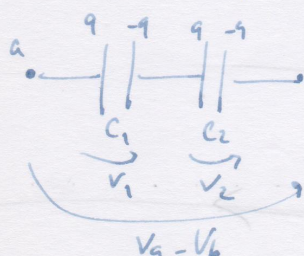


$$E_{2n}^e - E_{1n}^e = \frac{\sigma'_3}{\epsilon_0} = 0$$

(b) CONDENSADOR A

$$V_a - V_b = \frac{q}{\epsilon_1 s} d_1 + \frac{q}{\epsilon_2 s} d_2 = \frac{q}{c}$$

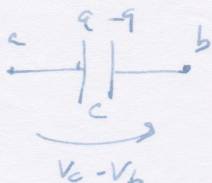
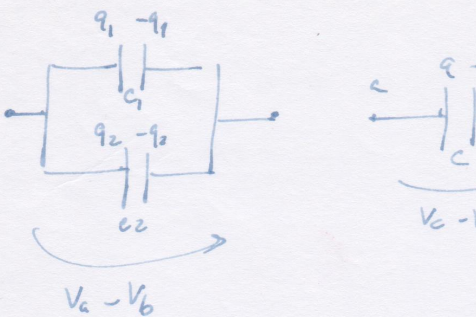
$$\text{Com } \frac{1}{c} = \frac{1}{C_1} + \frac{1}{C_2} \quad \text{sendo } C_1 = \frac{\epsilon_1 s}{d_1} \quad C_2 = \frac{\epsilon_2 s}{d_2}$$



$$V_a - V_b = V_1 + V_2$$

Assumindo  $V_1 = V_2$

Condensador B



$$q = q_1 + q_2$$

$$\begin{aligned} q &= q_1 + q_2 = \sigma_1 s_1 + \sigma_2 s_2 = D_1 s_1 + D_2 s_2 = \epsilon_1 E^e s_1 + \epsilon_2 E^e s_2 \\ &= \sigma_1 \frac{V_a - V_b}{d} s_1 + \sigma_2 \frac{V_a - V_b}{d} s_2 = C (V_a - V_b) \end{aligned}$$

$$C = C_1 + C_2 \quad \text{sendo } C_1 = \frac{\epsilon_1 s_1}{d} \quad C_2 = \frac{\epsilon_2 s_2}{d}$$

Assunção em paralelo

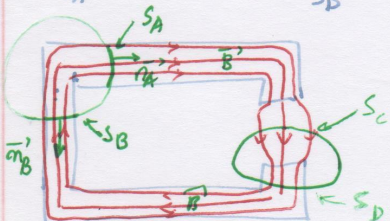
[163] Admite-se que o circuito magnético constitui um "tubo de linhas de força" perfurado.

$$\operatorname{div} \vec{B} = 0 \Rightarrow \oint (\vec{B} \cdot \vec{n}) ds = 0$$

$$\iint_{S_A} (\vec{B} \cdot \vec{n}_A) ds + \iint_{S_B} (\vec{B} \cdot \vec{n}_B) ds = 0$$

$$\vec{n} = \vec{n}_A = -\vec{n}_B$$

$$\iint_{S_A} (\vec{B} \cdot \vec{n}) ds - \iint_{S_B} (\vec{B} \cdot \vec{n}) ds = 0 \Rightarrow \phi_A = \phi_B$$



Do mesmo modo

$$\phi_C = \phi_D$$

Repare que o fluxo de magnetismo de qualquer resumo recto do circuito é uma constante, logo o campo de indução magnética será diferente dentro que a respeito varia

$$\phi = \iint f \vec{B} \cdot \vec{n} ds = C t^2$$

$$\Rightarrow \frac{\Phi}{\mu_0 \mu_r S_2} (2l'_2 + l'_1 - \delta) + \frac{\Phi}{\mu_0 S_2} \delta + \frac{\Phi}{\mu_0 \mu_r S_1} l'_1 = N_1 i_1 - N_2 i_2$$

$$\Phi = \frac{\mu_0 \mu_r (N_1 i_1 - N_2 i_2)}{\frac{2l'_2 + l'_1 + \delta}{S_2} + \frac{\mu_0 \delta}{S_2} + \frac{l'_1}{S_1}}$$

$S_1 = 20 \text{ cm}^2$   
 $S_2 = 10 \text{ cm}^2$

$$\Phi = - \frac{32\pi \times 10^{-5}}{(2 \cdot 10^{-3}) + 8 + 0.275} = -9.785 \times 10^{-5} \text{ Vs}$$

$\Rightarrow$

$$\bar{B}_1 = -4.893 \times 10^{-2} \text{ T}$$

$$\bar{B}_2 = -9.785 \times 10^{-2} \text{ T}$$

$$\bar{H}_1 = -4.867 \text{ A.m}^{-1}$$

$$\bar{H}_{2\text{Fe}} = -9.733 \text{ A.m}^{-1}$$

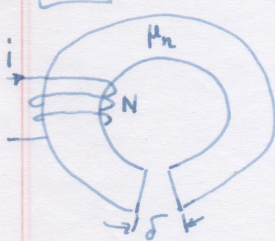
$$\bar{H}_{\text{can}} = -7.787 \times 10^4 \text{ A.m}^{-1}$$

c) Fluxo através do enrolamento (1)  $\leftarrow$

$$\phi_1 = N_1 \Phi = L_{11} i_1 + L_{12} i_2$$

$$\Rightarrow L_{12} = - \frac{\mu_0 \mu_r N_1 N_2}{\frac{2l'_2 + l'_1 + \delta}{S_2} + \frac{\mu_0 \delta}{S_2} + \frac{l'_1}{S_1}} = -2.935 \times 10^{-2} \text{ H}$$

169



a) Coeficiente de auto-indutância (sem entreferro)

$$\begin{aligned}\bar{\Phi}^{(1)} &= (R_2 - R_1) h \bar{B} \\ &= \iint_{0 \rightarrow R_1} B(r) dr dz\end{aligned}$$

O círculo de  $B(r)$  faz  $2\pi r$  rad. T. Angulo



$$H(r) 2\pi r = Ni \Rightarrow H(r) = \frac{Ni}{2\pi r}$$

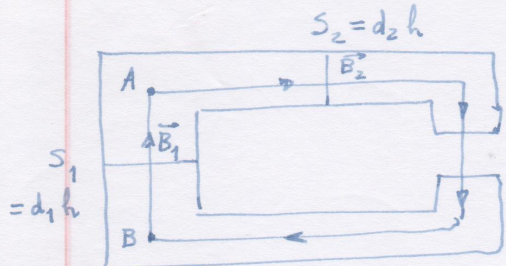
$$B(r) = \frac{\mu H(r)}{\mu_0} = \frac{\mu Ni}{2\pi r \mu_0}$$

$$\Rightarrow \Phi = N \bar{\Phi}^{(1)} = \frac{N^2 \mu_i}{2\pi} \int_{R_1}^{R_2} \frac{dr}{r} = \frac{N^2 \mu_i h \ln(R_2/R_1)}{2\pi}$$

Desprezando a variação do campo  $\vec{B}$  segundo a direção transversal ao circuito, admitindo que o valor de  $\vec{B}$  em diferentes pontos é igual ao valor que ele tem sobre a linha da pás médias,

$$\vec{B}_1 = \frac{\phi}{S_1}$$

$$\vec{B}_2 = \frac{\phi}{S_2}$$



No troço da seção  $S_1$ :

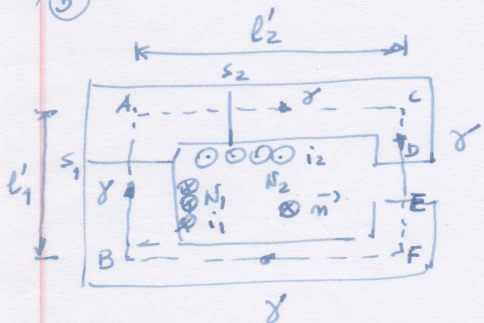
$$\vec{H}_1 = \frac{\vec{B}_1}{\mu_r \mu_0} = \frac{\phi}{\mu_r \mu_0 S_1}$$

No troço da seção  $S_2$ :

$$\vec{H}_{2Fe} = \frac{\vec{B}_2}{\mu_r \mu_0} = \frac{\phi}{\mu_r \mu_0 S_2}$$

$$\vec{H}_{2an} = \frac{\vec{B}_2}{\mu_0} = \frac{\phi}{\mu_0 S_2}$$

b)



$$rot \vec{H} = \vec{J}$$

$$\oint (\vec{H} \cdot d\vec{l}) = \sum_i (S)$$

$$H_{2Fe} \vec{AC} + H_{2Fe} \vec{CD} + H_{2an} \vec{DE} + H_{2Fe} \vec{EF} + H_{2an} \vec{FB}$$

$$+ H_{2Fe} \vec{AB} = N_1 i_1 - N_2 i_2$$

$$H_{2Fe} (\vec{AC} + \vec{CD} + \vec{EF} + \vec{FB}) + H_{2an} \vec{DE} + H_{1Fe} \vec{AB} = N_1 i_1 - N_2 i_2$$

$$H_{2Fe} (2l_2' + l_1' - \delta) + H_{1Fe} l_1' = N_1 i_1 - N_2 i_2$$

$$+ H_{2an} \delta$$

$$l_1' = l_1 - d_2 = 55 \text{ cm}$$

$$l_2' = l_2 - \frac{d_1}{2} - \frac{d_2}{2} = 72.5 \text{ cm}$$

$$L = \frac{\mu_0 \mu_n N^2 h}{2\pi} \ln \left( \frac{R_2}{R_1} \right)$$

⑥ com outra forma

$$\oint (\vec{H} \cdot d\vec{l}) = Ni$$

$$H_{Fe}(2\pi n - \delta) + H_{Au}\delta = Ni$$

mas

$$H(n) = \frac{B(n)}{\mu_n \mu_0}$$

$$H_{Au}(n) = \frac{B_2(n)}{\mu_0}$$

conservação do fluxo  $\phi_A = \phi_B \Rightarrow B_1 = B_2$

$$\frac{B(n)}{\mu_2 \mu_0} (2\pi n - \delta) + \frac{B(n)\delta}{\mu_0} = Ni$$

$$B(n) = \frac{Ni \mu_0 \mu_2}{\frac{2\pi n - \delta}{\mu_2} + \mu_2 \delta} =$$

$$\phi = N \phi^{(1)} = N \iint_{R_1}^{R_2} B(n) dr dy = \mu_0 \mu_n N^2 h i \int_{R_1}^{R_2} \frac{dr}{r - \frac{\delta}{2\pi} + \frac{\mu_2 \delta}{2\pi}}$$

$$\phi = \frac{\mu_0 \mu_n N^2 h i}{2\pi} \int_{R_1}^{R_2} \frac{dr}{r - \frac{\delta}{2\pi} + \frac{\mu_2 \delta}{2\pi}} = \frac{\mu_0 \mu_n N^2 h i}{2\pi} \ln \left( \frac{2\pi R_2 + \delta(\mu_2 - 1)}{2\pi R_1 + \delta(\mu_2 - 1)} \right)$$

$$\boxed{L = \frac{\mu_0 \mu_n N^2 h}{2\pi} \ln \left( \frac{2\pi R_2 + \delta(\mu_2 - 1)}{2\pi R_1 + \delta(\mu_2 - 1)} \right)}$$

Se tivermos o valor médio entre

$$\bar{B} = \frac{\mu N i}{2\pi \mu_0} \quad \text{onde } \mu_0 = \frac{R_1 + R_2}{2}$$

$$\phi = N \phi^{(1)} = N \bar{B} \iint ds =$$

O valor da corrente é

$$\bar{B} = \frac{N \mu_0 \mu_r i}{2\pi r_0 - \delta + \mu_r \delta}$$

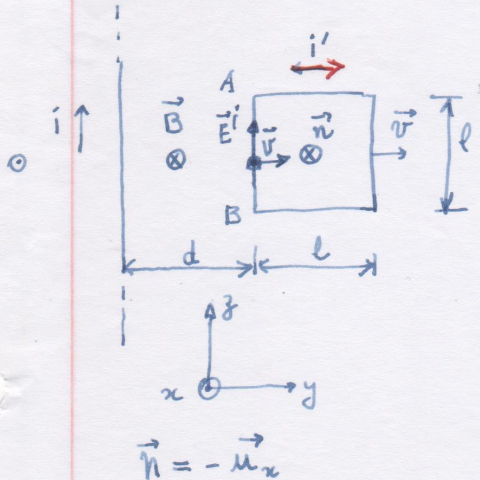
$$\phi = N \bar{B} \| ds = \frac{N^2 \mu_0 \mu_r i}{2\pi r_0 + \delta (\mu_r - 1)} (R_2 - R_1) h$$

$$L = \frac{\mu_0 \mu_r N^2 h (R_2 - R_1)}{2\pi r_0 + \delta (\mu_r - 1)}$$

$10^{\pm}$  AULA PRÁTICA

174

(a) Fluxo  $\Phi(t)$  através da seção



$$\Phi(t) = \iiint (\vec{B}(t) \cdot \vec{n}) ds$$

$$\Phi(t) = \iint_{d+vt}^{d+l+vt} \frac{\mu_0 i}{2\pi y} (-\vec{u}_x \cdot -\vec{u}_x) ds$$

$$\Phi(t) = \frac{\mu_0 i}{2\pi} \int_{y=d+vt}^{y=d+l+vt} \int_{z=0}^l \frac{dy dz}{y}$$

$$\Phi(t) = \frac{\mu_0 i l}{2\pi} \ln \left( \frac{d+l+vt}{d+vt} \right)$$

(b) Campo induzido no lado AB,  $\vec{E}'(t)$ .

$$\vec{E}'(t) = [\vec{v} \times \vec{B}] = |\vec{v}| |\vec{B}| = \frac{\mu_0 i v}{2\pi(d+vt)} \vec{u}_z$$

v é a velocidade da seção

(c) Comente  $i'$  induzida na seção, usando o mesmo procedimento

$$E'(t) = - \frac{d\Phi(t)}{dt} = \frac{\mu_0 i l^2 v}{2\pi(d+l+vt)(d+vt)}$$

$$\text{Então } i' = \frac{E'}{R} \Rightarrow i' = \frac{\mu_0 i l^2 v}{2\pi R (d+l+vt)(d+vt)}$$

[158] Duas espiras de raios  $R_1$  e  $R_2$

$R_1 \ll R_2$  (Esta condição assegura que no centro da espira 1)

O campo magnético criado pelo espira 2 é bem constante e orientado perpendicular ao circuito 1. Já vimos que o campo do induzido magnético é

$$\vec{B}_2 = \frac{\mu_0 i_2}{2R_2} \vec{u}_z$$

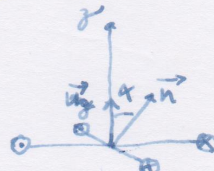
do campo de  $(c_2)$

O fluxo através do circuito  $C_1$  é dado por

$$\Phi_{(c_1)} = \iint_{(S_1)} (\vec{B} \cdot \vec{n}) dS = \iint_{(S_1)} \frac{\mu_0 i_2}{2R_2} \cos\alpha dS$$

$$\Phi_{(c_1)} = \frac{\mu_0 i_2}{2R_2} \cos\alpha \iint_{(S_1)} dS = \frac{\mu_0 i_2}{2R_2} \cos\alpha \pi R_1^2$$

$$\Phi_{(c_1)} = \frac{\mu_0 \pi R_1^2}{2R_2} \cos\alpha i_2$$



Em geral

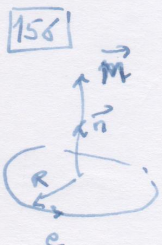
$$\Phi_{(c_1)} = L_{11} I_1 + M_{12} I_2$$

$$\Phi_{(c_2)} = M_{21} I_1 + L_{22} I_2$$

Recomendam que  $L_{21} = L_{12} = M \leftarrow$  coeficiente de indutância mutua dos dois circuitos em presença ( $C_1$ ) e ( $C_2$ ). Se depende da geometria e das posições relativas dos dois circuitos. Expresso em Henry.

$$M = L_M = \frac{\mu_0 \pi R_1^2}{2R_2} \cos\alpha$$

$\left[ \text{18}^2 \text{ Siemens} \right]$



a) Por definição de corrente elétrica, uma carga deslocando numa curva fechada em regras fm segundo é equivalente a uma corrente  $I = ne$

$$\text{Dra } V = WR = 2\pi n R$$

$$\Rightarrow \boxed{I = \frac{eV}{2\pi R} = \frac{eW}{2\pi}}$$

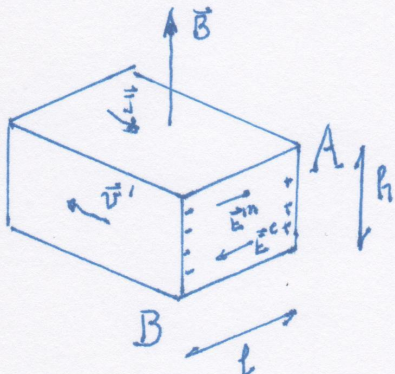
b) Como já vimos

$$\boxed{|\vec{B}(0)| = \frac{\mu_0 i}{2R} = \frac{\mu_0 eW}{4\pi R_0}} \quad (\text{Substituimos } R \text{ fm qd, o}$$

raio do movimento orbital, )

150 a)  $\vec{J} = \rho \vec{v}$  e  $\rho = -e n_e < 0$

$$|\vec{v}| = \frac{|\vec{J}|}{\rho} = \frac{i}{ne}$$



$$\vec{E}^m = [\vec{v} \times \vec{B}] \quad [\text{Campo induzido devido ao movimento}]$$

$$\vec{F}^n = -e \vec{E}^m \quad [\text{Força de Coulomb}]$$

$$V_A - V_B = \int_A^B (\vec{E}^e \cdot d\vec{p}) = - \int_{AB} \vec{E}^m \cdot d\vec{p}$$

$$V_A - V_B = \int_{BA} (\vec{E}^m \cdot d\vec{p}) = |\vec{E}^m| l = |\vec{v}| |B| l$$

$$V_A - V_B = \frac{i}{ne} |B| l = \frac{i |B|}{e n_e h} > 0 \Rightarrow m_e = \frac{i |B|}{(V_A - V_B) (e) h} =$$

$$m_e = \frac{(20A)(1T)}{\left(7.36 \times 10^{-6} V\right) \left(1.6 \times 10^{-19} C\right) \left(0.2 \times 10^{-2} m\right)} = 8.49 \times 10^{22} \text{ elétrons/cm}^3$$

b)  $M_p = 63.54 \text{ g/mol}$  [massa atómica do cobre]

$$\rho = 8.96 \text{ g/cm}^3$$

$$N_A = 6.022 \times 10^{23} \text{ átomos/mol}$$

$$\text{Se } 6.022 \times 10^{23} \text{ átomos} \rightarrow 63.54 \text{ g}$$

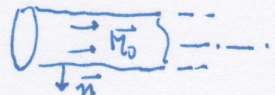
$$8.49 \times 10^{22} \text{ elétrons} \rightarrow m \Rightarrow m = \frac{8.49 \times 10^{22}}{6.022 \times 10^{23}} \times 63.54 \text{ g}$$

$$m = 8.987 \text{ g}$$

ou seja, há  $8.987 \text{ g}$  de elétrons/ $\text{cm}^3$  ou  $1 \text{ el.}/\text{nm}^3$  aproximadamente a densidade de elétrons do cobre em  $\text{cm}^3$ . Ou seja, há 1 elétron/mm para cada  $\text{cm}^3$  de cobre.

166 Iman permanente: ( $\chi_m \neq 0 = 0$ )

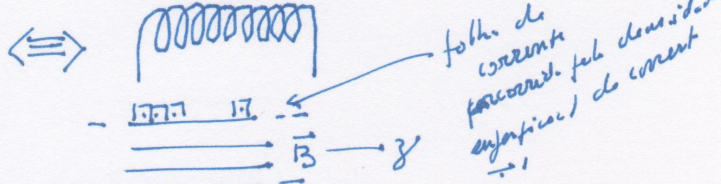
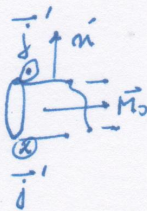
$$\vec{M} = \vec{M}_0 + \chi_m \vec{H}$$



Cilindro infinito

$$\vec{j}' = \pi \sigma \vec{M}_0$$

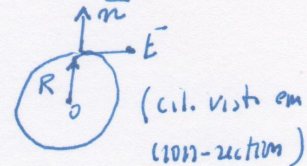
$$\vec{j}' = [\vec{M}_0 \times \vec{n}]$$



$$j = |\vec{M}_0| E$$

Mai rebus que

$$|j| = n i \Rightarrow |\vec{M}_0| = n i$$



Logo o solenóide deve ter percorrido ful. constante  $i = \frac{|\vec{M}_0|}{n}$